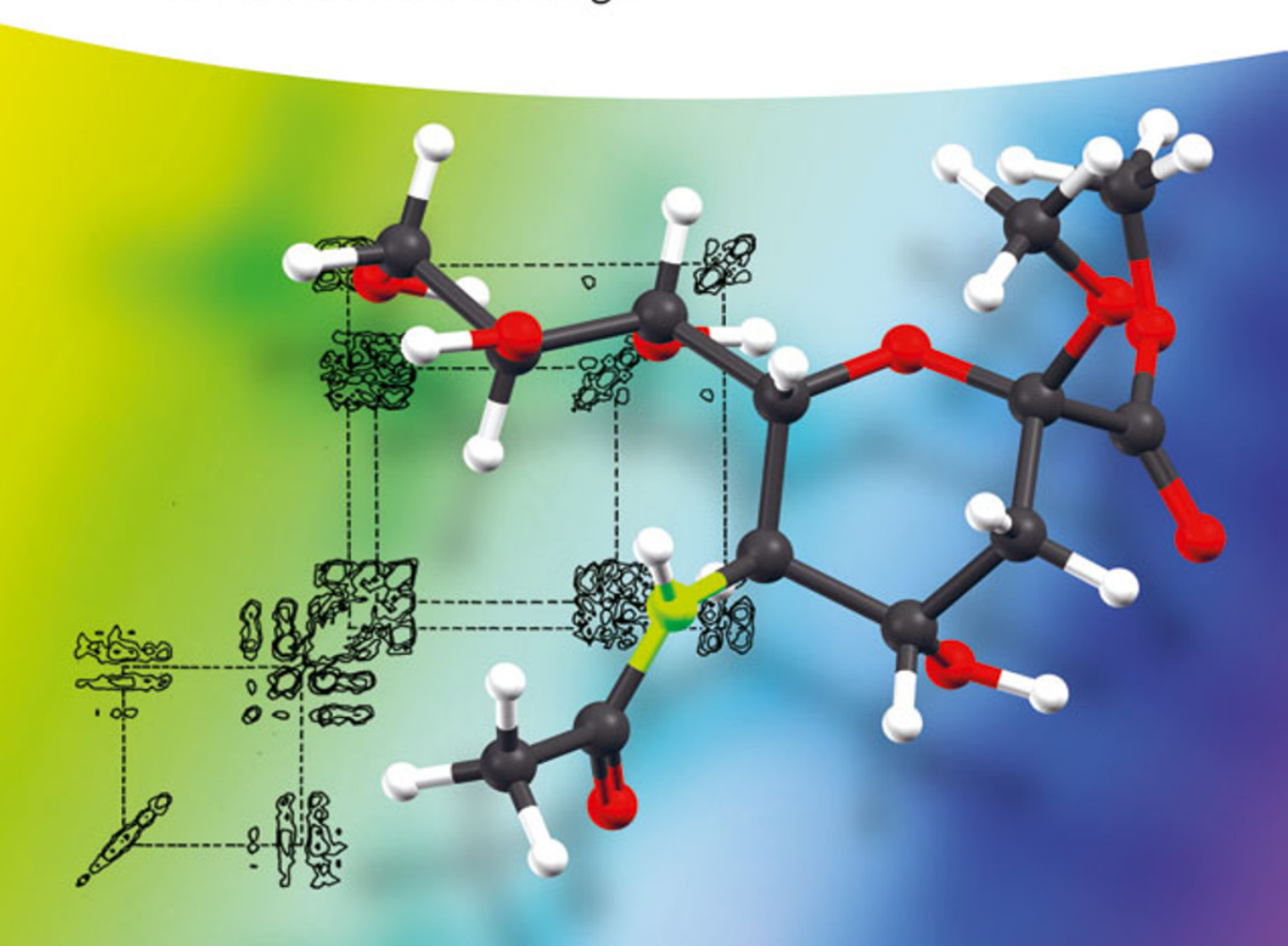


Horst Friebolin

Ein- und zweidimensionale NMR-Spektroskopie

Eine Einführung

Fünfte, vollständig überarbeitete und aktualisierte Auflage



Horst Friebolin
Ein- und zweidimensionale
NMR-Spektroskopie

Beachten Sie bitte auch weitere interessante Titel zu diesem Thema

Günther, Harald

NMR Spectroscopy

Basic Principles, Concepts and Applications in Chemistry

Auflage
 2013

ISBN: 978-3-527-33004-1

Pregosin, Paul S.

NMR in Organometallic Chemistry

2012

ISBN: 978-3-527-33013-3

Berger, Stefan, Braun, Siegmar

200 and More NMR Experiments A Practical Course

2004

ISBN: 978-3-527-31067-8

Berger, S., Sicker, D.

Classics in Spectroscopy

Isolation and Structure Elucidation of Natural Products

2009

ISBN: 978-3-527-32516-0

Iacobsen, Neil E.

NMR Spectroscopy Explained

Simplified Theory, Applications and Examples for Organic Chemistry and Structural Biology

2007

ISBN: 978-0-471-73096-5

Zerbe, O., Jurt, S.

Applied NMR Spectroscopy for Chemists and Life Scientists

ISBN: 978-3-527-32774-4

Levitt, M. H.

Spin Dynamics

Basics of Nuclear Magnetic Resonance

2008

ISBN: 978-0-470-51118-3

Breitmaier, E.

Vom NMR-Spektrum zur Strukturformel organischer Verbindungen

2005

ISBN: 978-3-527-31499-7

Horst Friebolin
Unter Mitarbeit von Frau Christina M. Thiele

Ein- und zweidimensionale NMR-Spektroskopie

Eine Einführung

5., vollständig überarbeitete und aktualisierte Auflage



WILEY-VCH Verlag GmbH & Co. KGaA

Autor

Prof. Dr. Horst Friebolin

Organisch-Chemisches Institut der Universität Im Neuenheimer Feld 270 D-69120 Heidelberg

unter Mitarbeit von:

Prof. Dr. Christina M. Thiele
T.U. Darmstadt
Petersenstr. 22
D-64287 Darmstadt

5. vollst. überarb. u. erw. Auflage 2013

Alle Bücher von Wiley-VCH werden sorgfältig erarbeitet. Dennoch übernehmen Autoren, Herausgeber und Verlag in keinem Fall, einschließlich des vorliegenden Werkes, für die Richtigkeit von Angaben, Hinweisen und Ratschlägen sowie für eventuelle Druckfehler irgendeine Haftung.

Bibliografische Information

der Deutschen Nationalbibliothek

Die Deutsche Nationalbibliothek verzeichnet diese Publikation in der Deutschen Nationalbibliografie; detaillierte bibliografische Daten sind im Internet über http://dnb.d-nb.de abrufbar.

© 2013 Wiley-VCH Verlag GmbH & Co. KGaA, Boschstr. 12, 69469 Weinheim, Germany

Alle Rechte, insbesondere die der Übersetzung in andere Sprachen, vorbehalten. Kein Teil dieses Buches darf ohne schriftliche Genehmigung des Verlages in irgendeiner Form – durch Photokopie, Mikroverfilmung oder irgendein anderes Verfahren – reproduziert oder in eine von Maschinen, insbesondere von Datenverarbeitungsmaschinen, verwendbare Sprache übertragen oder übersetzt werden. Die Wiedergabe von Warenbezeichnungen, Handelsnamen oder sonstigen Kennzeichen in diesem Buch berechtigt nicht zu der Annahme, dass diese von jedermann frei benutzt werden dürfen. Vielmehr kann es sich auch dann um eingetragene Warenzeichen oder sonstige gesetzlich geschützte Kennzeichen handeln, wenn sie nicht eigens als solche markiert sind.

Satz Hagedorn Kommunikation GmbH, Viernheim

Druck und Bindung betz-druck GmbH, Darmstadt

Umschlaggestaltung Bluesea Design, McLeese Lake, Canada

Print ISBN: 978-3-527-33492-6

Printed in the Federal Republic of Germany

Gedruckt auf säurefreiem Papier

Vorwort zur 5. deutschen Auflage

Das vorliegende Buch ist eine Einführung in die Grundlagen und Anwendungen der NMR-Spektroskopie. Die neuesten Forschungsergebnisse, die Fortschritte auf dem Gerätesektor sowie der Automation bei der Spektrenaufnahme und der Spektrenauswertung werden nur insofern berücksichtigt, als sie der Intention des Buches entsprechen. Daher sind in vielen Kapiteln nur kleinere Korrekturen vorgenommen worden. Im Einzelnen möchte ich erwähnen: In Tabelle 6-8 in Abschnitt 6.4.2 wurden die mit den Programmen SpecInfo und CSEARCH berechneten Verschiebungswerte den gemessenen und den mit ACD abgeschätzten Werten gegenübergestellt. In Kapitel 8 wurde ein Abschnitt (8.2.3) über die Grundlagen des "Spin Locking" eingefügt, das bei vielen Verfahren verwendet wird. Kapitel 10, "Kern-Overhauser-Effekt", ergänzte ich durch den transfer NOE (trNOE), einer Technik, die bei Untersuchungen von biologischen Systemen eine Rolle spielt. Abschnitt 12.5 über die Technik der Festkörper-NMR erweiterte ich um eine Besprechung der Grundzüge des Verfahrens der Cross Polarization (CP). In Abschnitt 13.4 habe ich wegen der grundlegenden Bedeutung von Untersuchungen der Wechselwirkungen zwischen Liganden und Makromolekülen (z.B. Ligand-Enzym-Wechselwirkungen) sowie deren Dynamik das Prinzip der Sättigungs-Transfer-Differenz-Spektroskopie (STD) behandelt.

Die wichtigsten Ergänzungen der fünften gegenüber der vierten Auflage sind jedoch die Aufgaben am Ende eines jeden Kapitels; die Lösungsvorschläge folgen im Anschluss an Kapitel 14.

Zum Schluss möchte ich allen danken, die zum Gelingen der neuen Auflage beigetragen haben. Erwähnen möchte ich besonders die Herren Dr. Jürgen Graf, Org.-Chem. Institut der Univ. Heidelberg und Dr. Volker Friebolin, Org.-Chem. Institut der Univ. Tübingen, die die Übungsaufgaben und deren Lösungsvorschläge kritisch gelesen haben sowie V. F., der mich beim Abfassen der Abschnitte über den trNOE und die STD-Spektroskopie tatkräftig unterstützte. Mein besonderer Dank gilt auch wieder Herrn Dr. Jack Becconsall,

der viele der hier verwendeten ergänzenden Texte im Rahmen der Vorbereitung zur 5. englischen Auflage kritisch kommentierte, so dass ich dadurch für die deutsche Neuauflage profitierte.

Den Mitarbeitern des Verlags Wiley-VCH, Weinheim, danke ich für die sehr gute Zusammenarbeit.

Heidelberg, im Dezember 2012

Horst Friebolin

Die Nachtigall und die Lerche.

Was soll man zu den Dichtern sagen, die so gern ihren Flug weit über alle Fassung des größten Teiles ihrer Leser nehmen? Was sonst, als was die Nachtigall zu der Lerche sagte: Schwingst du dich, Freundin, nur darum so hoch, um nicht gehört zu werden?

Gotthold Ephraim Lessing

Vorwort zur 1. Auflage

Dieses Buch ist weder eine überarbeitete noch eine erweiterte Auflage des 1974 von mir herausgegebenen Taschenbuches "NMR-Spektroskopie – Eine Einführung mit Übungsbeispielen"; vielmehr zwangen mich die Entwicklungen bei den Impulsverfahren, der ¹³C-NMR-Spektroskopie und besonders der zweidimensionalen NMR-Spektroskopie, ein neues Buch zu schreiben. Gleich blieb das Ziel, die physikalischen Grundlagen, die Meßverfahren, die Bedeutung der spektralen Parameter sowie die Analyse und Interpretation von NMR-Spektren möglichst einfach darzustellen. Daher sind die theoretischen Ableitungen auf ein Minimum beschränkt, von den exakten quantenmechanischen Berechnungen werden meistens nur die Ergebnisse angegeben und verwendet.

Für den Anfänger sind vor allem die ersten sechs Kapitel geschrieben. In den Kapiteln 8 und 9 werden die Grundlagen sowie Anwendungsmöglichkeiten der augenblicklich wichtigsten ein- und zweidimensionalen Experimente, die sich hinter Kürzeln wie DEPT, COSY, Relayed H,H- und C,H-COSY, INADEQUATE verbergen, vorgestellt, wobei Auswahl und Darstellung auf meinen in Vorlesungen, Seminaren und Übungen gewonnenen Erfahrungen beruhen. Für diesen Teil setze ich die Kenntnis des Inhalts der Kapitel 1 und 7 voraus, insbesondere muß das Prinzip des Impuls- und Spin-Echo-Experimentes verstanden sein.

Diese neuen Verfahren in nur zwei Kapiteln darzustellen, gelingt nicht ohne Weglassen und Vereinfachen, auch nicht ohne radikalen zeitlichen Schnitt. Um die ohnehin schon schwer verdauliche Kost für den Anfänger nicht noch unverdaulicher zu machen, habe ich mich bei den 2D-Verfahren auf die Amplitudenmodulation der Signale und bei der Darstellung auf die Absolutbeträge beschränkt. Dies ist vor allem im Hinblick auf die Verfahren eine wesentliche Vereinfachung, die gerade die unterschiedlichen Phasenbeziehungen ausnützen. Ich halte dieses Vorgehen jedoch in einer "Einführung" für vertretbar.

Die nächsten vier Kapitel befassen sich mit speziellen Methoden und Anwendungsmöglichkeiten. Die Auswahl –NOE, DNMR, Verschiebungsreagenzien, synthetische Polymere – ist subjektiv.

Das letzte Kapitel befaßt sich mit Anwendungen in der Biochemie und Medizin, mit der *in vivo*-NMR-Spektroskopie und der Magnetischen Resonanz(MR)-Tomographie. Den Lesern, die sich hauptsächlich für diesen Teil interessieren, beispielsweise Biologen und Mediziner, empfehle ich, zumindest die Grundlagen des Experiments (Kap. 1) und der Relaxation (Kap. 7) durchzuarbeiten.

Viele Probleme werden in dieser Einführung nur angedeutet, doch führen Literaturangaben am Ende der Kapitel die Leser weiter. Insgesamt sind diese Hinweise auf die wichtigsten beschränkt und im allgemeinen auf solche, die Studenten zugänglich sind.

Für viele Substanzen habe ich bewußt ihre Trivialnamen verwendet, beispielsweise Acetylen, Ethylen; die systematischen Namen sind jedoch im Substanzregister angegeben.

Mit wenigen Ausnahmen beschränkt sich das Buch auf die ¹Hund ¹³C-NMR-Spektroskopie, weil die überwiegende Zahl der Leser nur mit Spektren dieser beiden Kerne in Berührung kommen wird. Zudem sollte das Einarbeiten in die NMR- Spektroskopie anderer Kerne nach der Lektüre der Grundlagen nicht schwerfallen.

Im Gegensatz zum alten Buch habe ich auf getrennte Übungen verzichtet, dafür werden zahlreiche Beispiele ausführlich im Text erläutert.

Dank

Bei meiner Arbeit für dieses Buch war ich auf die tatkräftige Hilfe vieler angewiesen. An erster Stelle will ich drei Namen nennen: meinen ehemaligen Mitarbeiter Dr. Wolfgang Baumann, Dr. Wolfgang Bermel (Bruker) und Doris Lang. Wolfgang Baumann hat u. a. alle abgebildeten 250- und 300 MHz-NMR-Spektren aufgenommen und in abbildungsgerechte Form gebracht; Wolfgang Bermel hat sein ganzes Können bei der Aufnahme der ein- und zweidimensionalen 400 MHz-NMR-Spektren (Kap. 8 und 9) eingebracht. Beiden danke ich außerdem für die kritische Durchsicht von Teilen des Manuskriptes. Doris Lang hat unermüdlich die vielen Abbildungen, Skizzen und Formeln gezeichnet, korrigiert, beschriftet und zusammengestellt – eine Arbeit, die nur ein Eingeweihter richtig schätzen kann.

Ich danke Dieter Ratzel (Bruker) für die Aufnahmen der MR-Tomogramme (Abbildungen 11, 13 und 14 in Kapitel 14) sowie für viele zusätzliche Informationen. Der Firma Bruker, vor allem Tony Keller, habe ich für vielfältige Unterstützung zu danken, die von umfangreichen und zeitaufwendigen Messungen, über Bildmaterial bis hin zur Textverarbeitung reichte.

Ich danke weiterhin: Dr. Wolfgang Bremser (BASF) für die Spektrenabschätzung der Modellverbindung und die kritische Durchsicht des Abschnitts über die rechnerunterstützte Spektrenzuordnung; Dr. Hans-J. Opferkuch (DKFZ HD) für die Aufnahme der 2D-NMR-Spektren von Glutaminsäure (Abbildung 9-19 und 24); Brigitte Faul und Wilfried Haseloff für die Aufnahme von 90 MHz-¹H-NMR-Tieftemperaturspektren; Dr. Peter Bischof für die graphische Darstellung der Modellverbindung auf dem Titelblatt; Prof. Reinhard Brossmer für die Überlassung des Neuraminsäurederivats als Testsubstanz; Prof. Klaus Weinges für die Korrektur von Abschnitt 2.4; Prof. Dieter Hellwinkel für die Klärung strittiger Nomenklaturfragen. Meinen Mitarbeitern bin ich für ihre aufbauende Kritik und ihre Anregungen sehr zu Dank verpflichtet. Dr. Gerhard Weißhaar und Doris Lang danke ich zudem für die kritische Durchsicht der Korrekturfahnen. Bei der Reinschrift des ersten Manuskriptes haben Brigitte Rüger und Irmgard Pichler dankenswerter Weise geholfen.

Bei der VCH Verlagsgesellschaft sei vor allem Dr. Eva E. Wille genannt, sie hat mein Manuskript nicht nur für den Druck vorbereitet, sie hat als fachkundige Lektorin den Text kritisch durchgearbeitet. Ihr und Myriam Nothacker, die aus dem Manuskript ein Buch machte, bin ich sehr zu Dank verpflichtet.

Ein spezielles Anliegen ist es mir, Pfarrer Franz Alferi von der katholischen Kirchengemeinde St. Nikolaus in Mannheim zu danken, der mir für meine Arbeit einen Raum in absoluter Abgeschiedenheit zur Verfügung stellte.

Ganz zum Schluß gilt mein Dank meiner Frau und der gesamten Familie, die alle in den vergangenen Jahren wegen dieses Buches vieles "erleiden" und auf so manches verzichten mußten.

Heidelberg, im April 1988

Horst Friebolin

Abkürzungen und Akronyme

ADP	Adenosindiphosphat
APT	Attached Proton Test
ATP	Adenosintriphosphat
CLA	Complete line-shape analysis
	(vollständige Linienformanalyse)
COSY	Correlated Spectroscopy
CP	Cross Polarization
CSA	Chiral shift agent (Verschiebungsreagenz) oder
	Chemical shift Anisotropie
CW	Continuous wave
2D	zweidimensional
DD	Dipol-dipol
DEPT	Distortionless enhancement by polarization trans-
	fer
DMSO	Dimethylsulfoxide
DNMR	Dynamische NMR
DPM	Dipivaloylmethan, (2,2,6,6-Tetramethyl-heptandione)
DTPA	Diethylene-triamine-pentaacetic-acid
EXSY	Exchange Spectroscopy
FID	Free induction decay
FOD	Heptafluor-7,7-dimethyl-4,6-octandion
FT	Fourier Transformation
gs	Gradient selected
HETCOR	Heteronuclear correlation
HMBC	Heteronuclear multiple bond correlation
HMQC	Heteronuclear multiple quantum coherence
HSQC	Heteronuclear single quantum coherence
INADEQUATE	Incredible natural abundance double quantum
	transfer
INEPT	Insensitive nuclei enhanced by polarization
	transfer
Lm	Lösungsmittel
LSR	Lanthanoiden Shift Reagenz
M	Multiplizität von Signalen
MAS	Magic Angle Spinning
	1 1 1.1

Magnetische Resonanz(-Tomographie) MR

 $\mathbf{M} olecular \ \mathbf{o} rbital$

Magnetic resonance imaging MRI NMR Nuclear Magnetic Resonance

Nuclear Overhauser Effekt (enhancement) NOE NOESY Nuclear Overhauser enhancement spectroscopy NS Number of Scans (Zahl der Durchgänge)

PCr Kreatinphosphat

MO

Pfg Pulsed field gradient P_i Anorganisches Phosphat PMMA Polymethylmethacrylat ppm Parts per million

PRESS Point Resolved Spectroscopy RDC Residual Dipolar Couplings

ROESY Rotating frame Overhauser Enhancement

Spectroscopy

S:N Signal-to-noise ratio

(Verhältnis von Signal- zu Rauschamplitude)

SPI Selective population inversion STD Sättigungs-Transfer-Differenz-NMR

TMS Tetramethylsilan

Total correlation spectroscopy **TOCSY**

trNOE Transfer NOE

TROSY Transverse Relaxation Optimized Spectroscopy

Symbole

B_0	statisches Magnetfeld beim NMR-Experiment
$\boldsymbol{B}_{1}^{\circ},\;\boldsymbol{B}_{2}$	Hochfrequenzfelder bei den Frequenzen ν_1 und ν_2
$oldsymbol{B}_{ ext{eff}}$	effektiv am Kernort wirkendes Feld
$b_{1/2}$	Halbwertsbreite
C_2	zweizählige Symmetrieachse
=	magnetische Suszeptibilität
$^{\chi}_{^{13}\text{C}\{^1\text{H}\}}$	¹³ C-Resonanzen werden beobachtet,
,	die Protonen entkoppelt
δ	chemische Verschiebung, bezogen auf einen Standard
	(z. B. TMS)
E	Energie
ΔE	Energieunterschied zwischen zwei Niveaus
δE	Unschärfe eines Energiezustandes
$E_{ m A}$	Arrhenius-Aktivierungsenergie
$E_{ m X}$	Elektronegativität des Substituenten X
$1+\eta$	Verstärkungsfaktor beim NOE-Experiment
φ , Θ	Phasendifferenz zwischen zwei Vektoren
Φ	Bindungswinkel, Torsionswinkel
F_1 , F_2	Frequenzachsen im 2D-NMR-Spektrum
$G_{_{_{\scriptscriptstyle{+}}}}$	Feldgradient
$\varDelta G^{^{\ddagger}}$	freie Aktivierungsenthalpie
γ	magnetogyrisches Verhältnis; $\psi = \gamma/2\pi$
h	Plancksches Wirkungsquantum; $\hbar = h/2\pi$
$\varDelta H^{^{*}}$	Aktivierungsenthalpie
I	Drehimpuls- oder Kernspin-Quantenzahl
I	Kernspin-Operator
^{n}J	Kopplungskonstante über n Bindungen
1K	Zahl der Datenpunkte, der Speicherplätze
7.7	$1K = 2^{10} = 1024$
K	Gleichgewichtskonstante
χ	Stoffmengenanteil (Molenbruch)
k	Geschwindigkeitskonstante
$k_{\rm C}$	Geschwindigkeitskonstante bei der
1_	Koaleszenztemperatur T_C
$k_{ m B}$	Boltzmann-Konstante
k_0	Frequenzfaktor
μ	magnetisches Moment
μ_z	Komponente des magnetischen Momentes μ
144	in Feldrichtung z
$oldsymbol{M}_0$	magnetische Quantenzahl makroskopische Magnetisierung im Magnetfeld $m{B}_0$
•	transversale Magnetisierung in x' - und y' -Richtung
$M_{x'}$, $M_{y'}$ M_z	longitudinale Magnetisierung in x - und y -Richtung
1 v1 _Z	iongradinale magnetistering in 2- oder returnenting

	2
$M_{\rm X}$	Magnetisierung für die Kerne X
$M_{\rm H}^{\rm C_{\alpha}}, M_{\rm H}^{\rm C_{\beta}}$	¹ H-Magnetisierungsvektoren in einem Zweispinsystem
	mit den 13 C-Kernen im α bzw. β -Zustand
M_{C}^{Ha} , $M_{C}^{H\beta}$	¹³ C-Magnetisierungsvektoren in einem Zweispinsystem
	mit den Protonen im α - bzw. β -Zustand
N	Gesamtzahl der Kerne
N_{α} , N_{β} , N_{i}	Zahl der Kerne im α bzw. β -Zustand, im Niveau i
ν	Frequenz
$ u_{ m L}$	Larmor-Frequenz
$\nu_{ m i}$	Resonanzfrequenz des Kernes i
ν_1	Generatorfrequenz
ν_2	Entkopplerfrequenz
P	Kern- oder Eigendrehimpuls
P_z	Komponenten von P in z-Richtung
Q	elektrisches Quadrupolmoment
R	allgemeine Gaskonstante
r	Atomabstand
σ	Abschirmungskonstante
S_i	Substituenteninkremente zur Abschätzung chemischer
	Verschiebungen
$\Delta S^{^{\ddagger}}$	Aktivierungsentropie
τ	Zeit zwischen zwei Impulsen; Impulsintervall
$ au_{ m C}$	Korrelationszeit
$ au_{ m l}$	Lebensdauer eines Kernes in einem Spinzustand bzw.
	in einer bestimmten magnetischen Umgebung
$ au_{ m p}$	Impulslänge
$ au_{ m null}$	Zeit, bei der M_z nach einem 180°-Impuls gerade Null ist
t_1	Variable Zeit bei 2D-Experimenten; wird im allgemei-
	nen inkrementiert
t_2	Zeit der Datenaufnahme,
	Detektionszeit in 2D-Experimenten
Δ	feste Zeitintervalle bei 2D-Impulsfolgen
T	Tesla
T	absolute Temperatur in K
T_1	Spin-Gitter- oder longitudinale Relaxationszeit
T_2	Spin-Spin- oder transversale Relaxationszeit
T_2^*	gemessene transversale Relaxationszeit
$\overset{{}_{}}{\Theta}$	Impulswinkel
W_0, W_1, W_2	Übergangswahrscheinlichkeiten für Null-, Ein- und
U, 1, Z	Zweiquantenübergänge durch Relaxation
	1 0. 0. 0

Inhaltsverzeichnis

1	Physikalische Grundlagen der NMR-Spektroskopie 1
1.1	Einführung 1
1.2	Kerndrehimpuls und magnetisches Moment 2
1.3	Kerne im statischen Magnetfeld 4
1.3.1	Richtungsquantelung 4
1.3.2	Energie der Kerne im Magnetfeld 5
1.3.3	Besetzung der Energieniveaus 6
1.3.4	Makroskopische Magnetisierung 7
1.4	Grundlagen des Kernresonanz-Experimentes 7
1.4.1	Resonanzbedingung 7
1.4.2	Messprinzip 9
1.5	Impuls-Verfahren 10
1.5.1	Impuls (Angelsächsisch: pulse) 10
1.5.2	Impulswinkel 10
1.5.3	Relaxation 13
1.5.4	Zeit- und Frequenzdomäne; Fourier Transformation 15
1.5.5	Spektrenakkumulation 17
1.5.6	Impulsspektrometer 19
1.6	Spektrale Parameter im Überblick 23
1.6.1	Chemische Verschiebung 23
1.6.1.1	Abschirmung 23
1.6.1.2	Referenzsubstanz und δ-Skala 25
1.6.2	Spin-Spin-Kopplung 27
1.6.2.1	Indirekte Spin-Spin-Kopplung 27
1.6.2.2	Kopplung mit einem Nachbarkern
	(AX-Spinsystem) 28
1.6.2.3	Kopplung mit zwei äquivalenten Nachbarkernen
	(AX ₂ -Spinsystem) 30
1.6.2.4	Kopplung mit mehreren äquivalenten Nachbarkernen
	(AX _n -Spinsystem) 31
1.6.2.5	Multiplizitätsregeln 31
1.6.2.6	Kopplungen zwischen drei nicht-äquivalenten Kernen
	(AMX-Spinsystem) 32

1.6.2.7	Kopplungen zwischen äquivalenten Kernen
1 (2 0	$(A_n$ -Spinsystem) 33
1.6.2.8	Ordnung eines Spektrums 34
1.6.2.9	Kopplungen von Protonen mit anderen Kernen und ¹³ C-Satelliten-Spektren 34
1.6.3	Intensitäten der Resonanzsignale 35
1.6.3.1	¹ H-NMR-Spektroskopie 35
1.6.3.2	¹³ C-NMR-Spektroskopie 36
1.6.4	Zusammenfassung 39
1.7	"Andere" Kerne 40
1.7.1	Kerne mit Kernspin $I = 1/2$ 41
1.7.2	Kerne mit Kernspin $I > 1/2$ 41
1.8	Aufgaben 43
1.9	Literatur zu Kapitel 1 44
2	Chemische Verschiebung 45
2.1	Einführung 45
2.1.1	Einfluss der Ladungsdichte auf die Abschirmung 47
2.1.2	Nachbargruppeneffekte 48
2.1.2.1	Magnetische Anisotropie von Nachbargruppen 49
2.1.2.2	Ringstromeffekt 51
2.1.2.3	Elektrischer Feldeffekt 52
2.1.2.4	Intermolekulare Wechselwirkungen – Wasserstoffbrücken
	und Lösungsmitteleffekte 52
2.1.2.5	Isotopieeffekt 53
2.1.3	Zusammenfassung 54
2.2	¹ H-chemische Verschiebungen organischer
	Verbindungen 55
2.2.1	Alkane und Cycloalkane 55
2.2.2	Alkene 57
2.2.3	Aromaten 58
2.2.4	Alkine 59
2.2.5	Aldehyde 60
2.2.6	OH, SH, NH 61
2.3	¹³ C-Chemische Verschiebungen organischer
	Verbindungen 62
2.3.1	Alkane und Cycloalkane 63
2.3.2	Alkene 64
2.3.3	Aromaten 66
2.3.4	Alkine 68
2.3.5	Allene 68
2.3.6	Carbonyl- und Carboxyverbindungen 68
2.3.6.1	Aldehyde und Ketone 69
2.3.6.2	Carbonsäuren und Derivate 70

(VI	Inhaltsverzeichn	i
VI I	iririaiisverzeicriri	1:

VVI Inhaltan	avaichair
XVI Inhaltsv	erzeichnis
2.4	Spektrum und Molekülstruktur 72
2.4.1	Äquivalenz, Symmetrie und Chiralität 72
2.4.2	Homotope, enantiotope und diastereotope Gruppen 74
2.4.3	Zusammenfassung 79
2.5	Chemische Verschiebung "anderer" Kerne 79
2.6	Aufgaben 84
2.7	Literatur zu Kapitel 2 85
3	Indirekte Spin-Spin-Kopplung 87
3.1	Einführung 87
3.2	H,H-Kopplungskonstanten und chemische Struktur 89
3.2.1	Geminale Kopplungen (² <i>J</i> (H,H)) 89
3.2.1.1	
3.2.1.2	
3.2.1.3	Abhängigkeit von benachbarten π -Elektronen 90
3.2.2	Vicinale H,H-Kopplungen (³ <i>J</i> (H,H)) 91
3.2.2.1	Abhängigkeit vom Torsionswinkel 92
3.2.2.2	Substituenteneffekte 96
3.2.3	H,H-Kopplungen in aromatischen Verbindungen 97
3.2.4	Weitreichende Kopplungen (Fernkopplungen) 98
3.3	C,H-Kopplungskonstanten und chemische Struktur 99
3.3.1	C,H-Kopplungen über eine Bindung (${}^{1}J(C,H)$) 99
3.3.1.1	Abhängigkeit vom s-Anteil 99
3.3.1.2	Substituenteneffekte 99
3.3.2	C,H-Kopplungen über zwei und mehr Bindungen 100
3.3.2.1	1 12
3.3.2.2	Vicinale Kopplungen (${}^{3}J(C,H)$: $H-C-C^{-13}C$) 100
3.3.2.3	Weitreichende Kopplungen (3+n J(C,H)) 101
3.3.3	C,H-Kopplungen in Benzolderivaten 101
3.3.3	
3.5	, 11 8
3.6	Korrelation von C,H- und H,H-Kopplungskonstanten
	Kopplungsmechanismen 104
3.6.1	Kern-Elektron-Wechselwirkung 104
3.6.2	H,D-Kopplung 106
3.6.3	Kopplung und Lebensdauer eines Spin-Zustandes 107
3.6.4	Kopplungen durch den Raum 107
3.7	Kopplung "anderer" Kerne; Heterokopplungen 108
3.8	Aufgaben 110
3.9	Literatur zu Kapitel 3 111
4	Analyse und Berechnung von Spektren 113
4.1	Einführung 113
4.2	Nomenklatur 116
4.2.1	Systematische Kennzeichnung der Spinsysteme 116
4.2.2	Chemische und magnetische Äquivalenz 117

4.3	Zweispinsysteme 118
4.3.1	AX-Spinsystem 118
4.3.2	AB-Spinsystem 121
4.4	Dreispinsysteme 122
4.4.1	AX_2 -, AK_2 -, AB_2 - und A_3 -Spinsysteme 122
4.4.2	AMX- und ABX-Spinsystem 124
4.5	Vierspinsysteme 126
4.5.1	A ₂ X ₂ - und A ₂ B ₂ -Spinsysteme 126
4.5.2	AA'XX'- und AA'BB'-Spinsysteme 126
4.6	Spektren-Simulation und Spektren-Iteration 128
4.7	Analyse von ¹³ C-NMR-Spektren 128
4.8	Aufgaben 129
4.9	Literatur zu Kapitel 4 130
5	Doppelresonanz-Experimente 131
5.1	Einführung 131
5.2	Spin-Entkopplung in der ¹ H-NMR-Spektroskopie 132
5.2.1	Vereinfachung von Spektren durch selektive
	Spin-Entkopplung 132
5.2.2	Unterdrückung des Lösungsmittelsignals 135
5.3	Spin-Entkopplung in der ¹³ C-NMR-Spektroskopie 136
5.3.1	¹ H-Breitband(BB)-Entkopplung 136
5.3.2	Gated-Decoupling-Experiment 137
5.3.3	¹ H-Off-Resonance-Entkopplung 138
5.3.4	Selektive Entkopplung in der ¹³ C-NMR-Spektroskopie 139
5.4	Aufgaben 140
5.5	Literatur zu Kapitel 5 141
6	Zuordnung der ¹ H- und ¹³ C-NMR-Signale 143
6.1	Einführung 143
6.2	¹ H-NMR-Spektroskopie 144
6.2.1	Problemstellung 144
6.2.2	Empirische Korrelationen zur Abschätzung
	chemischer Verschiebungen 145
6.2.2.1	Alkane (Regel von Shoolery) 145
6.2.2.2	Alkene 146
6.2.2.3	Benzolderivate 147
6.2.3	Entkopplungs-Experimente 148
6.2.4	Chemische Veränderung der Substanzen 149
6.2.5	Lösungsmittel- und Temperatureffekte 150
6.2.6	Verschiebungsreagenzien 150
6.2.6.1	Lanthanoiden-Shift-Reagenzien (LSR) 150
6.2.6.2	Chirale Lanthanoiden-Shift-Reagenzien 154
6.3	¹³ C-NMR-Spektroskopie 156
6.3.1	Problemstellung 156

XVIII	Inhalts	sverzeic	hnis	
-		_		-

6.3.2	Empirische Korrelationen zur Abschätzung chemischer
	Verschiebungen 158
6.3.2.1	Alkane 158
6.3.2.2	Alkene 161
6.3.2.3	Benzolderivate 162
6.3.3	Entkopplungsexperimente 163
6.3.4	T_1 -Messungen 163
6.3.5	Chemische Veränderung der Substanzen 163
6.3.6	Lösungsmittel- und Temperatureffekte sowie
	Verschiebungsreagenzien 164
6.4	Rechnerunterstützte Spektrenzuordnung in der ¹ H- und
	¹³ C-NMR-Spektroskopie 165
6.4.1	Suche nach identischen und ähnlichen Verbindungen 165
6.4.2	Spektrenabschätzung 166
6.5	Aufgaben 168
6.6	Literatur zu Kapitel 6 168
7	Relaxation 171
7.1	Einführung 171
7.2	Spin-Gitter-Relaxation der ¹³ C-Kerne (<i>T</i> ₁) 172
7.2.1	Relaxationsmechanismen 172
7.2.2	Experimentelle Bestimmung von T_1 ;
7.2.2	Inversion-Recovery-Experiment 174
7.2.3	T_1 und chemische Struktur 178
7.2.3.1	
7.2.3.2	
7.2.3.3	Segmentbeweglichkeiten 180
7.2.3.4	Anisotrope molekulare Beweglichkeit 180
7.2.4	Unterdrückung des Wassersignals 180
7.3	Spin-Spin-Relaxation (T ₂) 181
7.3.1	Relaxationsmechanismen 181
7.3.2	Experimentelle Bestimmung von T_2 ;
	Spin-Echo-Experiment 183
7.3.3	Linienbreiten der Resonanzsignale 187
7.4	Aufgaben 189
7.5	Literatur zu Kapitel 7 189
8	Eindimensionale NMR-Experimente mit
-	komplexen Impulsfolgen 191
8.1	Einführung 191
8.2	Grundlegende Experimente mit Impulsen und gepulsten
J.2	Feldgradienten 192
8.2.1	Einfluss der Impulse auf die longitudinale
	Magnetisierung (M_z) 193

8.2.2	Einfluss der Impulse auf die transversalen
011	Magnetisierungen ($M_{x'}$, $M_{y'}$) 194 Spin-Locking 198
8.2.3 8.2.4	1 0
8.2.4	Einfluss von gepulsten Feldgradienten auf die transversalen Magnetisierungen 199
8.3	J-moduliertes Spin-Echo-Experiment 203
8.4	Spin-Echo-Experiment mit gepulsten Feldgradienten 212
8.5	Intensitätsgewinn durch Polarisationstransfer 215
8.5.1	SPI-Experiment 215
8.5.2	INEPT-Experiment 218
8.5.3	Inverses, protonendetektiertes INEPT-Experiment 226
8.6	DEPT-Experiment 231
8.7	Selektives TOCSY-Experiment 236
8.8	Eindimensionales INADEQUATE-Experiment 238
8.9	Aufgaben 242
8.10	Literatur zu Kapitel 8 242
9	Zweidimensionale NMR-Spektroskopie 245
9.1	Einführung 245
9.2	Zweidimensionales NMR-Experiment 246
9.2.1	Präparation, Evolution und Mischung, Detektion 246
9.2.2	Graphische Darstellung 250
9.3	Zweidimensionale <i>J</i> -aufgelöste NMR-Spektroskopie 252
9.3.1	Heteronukleare zweidimensionale <i>J</i> -aufgelöste
,,,,,,	¹³ C-NMR-Spektroskopie 252
9.3.2	Homonukleare zweidimensionale <i>J</i> -aufgelöste
	¹ H-NMR-Spektroskopie 256
9.4	Zweidimensionale korrelierte NMR-Spektroskopie 261
9.4.1	Zweidimensionale heteronuklear (C,H)-korrelierte
	NMR-Spektroskopie (HETCOR oder C,H-COSY) 262
9.4.2	Zweidimensionale homonuklear (H,H)-korrelierte
	NMR-Spektroskopie (H,H-COSY; Long-Range COSY) 277
9.4.3	Inverse zweidimensionale heteronukleare (H,C)-korrelierte
	NMR-Spektroskopie (HSQC; HMQC) 279
9.4.4	(gs-)HMBC-Experiment 285
9.4.5	TOCSY-Experiment 290
9.4.6	Zweidimensionale Austausch-NMR-Spektroskopie:
	Die Experimente NOESY, ROESY und EXSY 292
9.5	Zweidimensionales INADEQUATE-Experiment 297
9.6	Zusammenfassung der Kapitel 8 und 9 301
9.7	Aufgaben 301
9.8	Literatur zu Kapitel 9 303

10	Kern-Overhauser-Effekt 305
10.1	Einführung 305
10.2	Theoretische Grundlagen 306
10.2.1	Zweispinsystem 306
10.2.2	Verstärkungsfaktor 309
10.2.3	Mehrspinsysteme 310
10.2.4	Von den ein- zu den zweidimensionalen Experimenten
	NOESY und ROESY 311
10.3	Experimentelle Aspekte 313
10.4	Anwendungen 314
10.5	Aufgaben 319
10.6	Literatur zu Kapitel 10 320
11	Dynamische NMR-Spektroskopie (DNMR) 321
11.1	Einführung 321
11.2	Quantitative Auswertung 325
11.2.1	Vollständige Linienformanalyse 325
11.2.2	1 6
	Geschwindigkeitskonstante $k_{\rm C}$ 327
	Aktivierungsparameter 329
11.2.3.1	Arrheniussche Aktivierungsenergie E_A 329
11.2.3.2	Freie Aktivierungsenthalpie ΔG^{\ddagger} 329
11.2.3.3	Fehlerbetrachtung 330
11.2.4	Geschwindigkeitskonstanten für Reaktionen
	mit Zwischenstufen 331
11.2.5	Intermolekulare Austauschprozesse 332
11.3	Anwendungen 333
11.3.1	
	$C (sp^3) - (sp^3)$ -Bindungen 334
	C (sp2)– (sp3)-Bindungen 334
11.3.1.3	C (sp2)– (sp2)-Bindungen 334
11.3.2	Rotation um partielle Doppelbindungen 335
11.3.3	Inversion am Stickstoff und Phosphor 336
11.3.4	Ringinversion 337
11.3.5	Valenztautomerie 341
11.3.6	Keto-Enol-Tautomerie 341
11.3.7	
11.3.8	Reaktionen und Äquilibrierungen 345
11.4	Aufgaben 348
11.5	Literatur zu Kapitel 11 348

12	Synthetische Polymere 351
12.1	Einführung 351
12.2	Taktizität von Polymeren 351
12.3	Polymerisation von Dienen 355
12.4	Copolymere 356
12.5	Festkörper NMR an Polymeren 357
12.6	Aufgaben 360
12.7	Literatur zu Kapitel 12 360
13	NMR-Spektroskopie und Biochemie 363
13.1	Einführung 363
13.2	Aufklärung von Reaktionswegen in der Biochemie 364
13.2.1	Synthesen mit einfach ¹³ C-markierten Vorläufern 364
13.2.1.1	
13.2.1.2	Starke ¹³ C-Anreicherung 365
13.2.2	Synthesen mit doppelt ¹³ C-markierten Vorläufern 366
13.3	Biomakromoleküle 368
13.3.1	Peptide, Proteine 369
13.3.1.1	Sequenzanalyse 370
13.3.1.2	Dreidimensionale Struktur von Proteinen 372
13.3.2	Polynucleotide 373
13.3.3	Oligo-, Polysaccharide 375
13.4	Sättigungs-Transfer-Differenz-NMR (STD)
	(Saturation-Transfer-Difference NMR) 378
13.5	Aufgaben 380
13.6	Literatur zu Kapitel 13 380
14	In vivo-NMR-Spektroskopie in Biochemie und Medizin 38.
14.1	Einführung 383
14.2	Hochauflösende in vivo-NMR-Spektroskopie 384
14.2.1	Problemstellung 384
14.2.2	³¹ P-NMR-Untersuchungen 385
14.2.3	¹ H- und ¹³ C-NMR-Untersuchungen 388
14.3	Magnetische Resonanz-Tomographie 389
14.3.1	Grundlagen, experimentelle Aspekte 390
14.3.2	Anwendungen 396
14.4	Magnetische Resonanz-Spektroskopie, ¹ H-MRS 400
14.5	Aufgaben 402
14.6	Literatur zu Kapitel 14 402
	Lösungsvorschläge 405

Sachregister 419

1

Physikalische Grundlagen der NMR-Spektroskopie

1.1 Einführung

1946 gelang den beiden Arbeitsgruppen F. Bloch, W. W. Hansen und M. E. Packard sowie E. M. Purcell, H. C. Torrey und R.V. Pound unabhängig voneinander der erste Nachweis von Kernresonanz-Signalen. Für die Entdeckung wurden Bloch und Purcell 1952 gemeinsam mit dem Nobelpreis für Physik ausgezeichnet. Seither entwickelte sich die NMR-Spektroskopie (Nuclear Magnetic Resonance) zu einem für Chemiker, Biochemiker, Biologen, Physiker und neuerdings auch für Mediziner unentbehrlichen Werkzeug. In den ersten drei Jahrzehnten waren alle Messverfahren eindimensional, das heißt, die Spektren haben eine Frequenzachse, in der zweiten werden Signalintensitäten aufgetragen. In den 70er-Jahren begann dann mit der Entwicklung der zweidimensionalen NMR-Experimente eine neue Epoche in der NMR-Spektroskopie. Spektren, die nach diesen Verfahren aufgenommen werden, haben zwei Frequenzachsen; die Intensitäten sind in der dritten Dimension aufgetragen. Inzwischen sind drei- und mehrdimensionale Experimente möglich, doch gehören diese Techniken im Augenblick noch nicht zu den Routinemethoden. Welche Bedeutung der NMR-Spektroskopie in der Chemie beigemessen wird, zeigt die Tatsache, dass die Nobelpreise für Chemie 1991 an R. R. Ernst und 2002 an K. Wüthrich sowie 2003 für Medizin an P. Lauterbur zusammen mit P. Mansfield für ihre bahnbrechenden Untersuchungen über NMR Methoden in Chemie, Biochemie und Medizin verliehen wurden. Wie gerade die in den letzten Jahren entwickelten neuen Messmethoden beweisen, ist die Entwicklung der NMR-Spektroskopie noch längst nicht abgeschlossen.

Dieses Buch will eine Antwort darauf geben, weshalb die NMR-Spektroskopie speziell für den Chemiker zur (vielleicht) wichtigsten spektroskopischen Methode wurde.

Hauptanwendungsgebiet der NMR-Spektroskopie ist die Strukturaufklärung von Molekülen. Um die entsprechenden Informationen zu gewinnen, misst, analysiert und interpretiert man hochaufgelöste NMR-Spektren, die von niederviskosen Flüssigkeiten aufgenommen wurden, in manchen Fällen auch von Festkörpern, wobei man für Festkörpermessungen andere experimentelle Techniken und (im Allgemeinen) auch andere Geräte verwendet. Wir beschränken uns jedoch im folgenden fast ausschließlich auf die sogenannte hochauflösende NMR-Spektroskopie von Flüssigkeiten.

Unser Hauptinteresse gilt vor allem Protonen (1H) und Kohlenstoff-13-Kernen (13C), da deren Resonanzen für die Strukturaufklärung organischer Moleküle am wichtigsten sind. In den folgenden Kapiteln werden wir jedoch auch Beispielen von NMR-Spektren anderer Kerne begegnen, deren NMR-Signale heute ohne Schwierigkeiten beobachtet werden können.

Zum Verständnis der NMR-Spektroskopie müssen wir zunächst lernen, wie sich Kerne mit einem Kerndrehimpuls P und einem magnetischen Moment μ in einem statischen Magnetfeld verhalten. Im Anschluss daran werden wir das grundlegende NMR-Experiment, das Impuls-Verfahren und die spektralen Parameter diskutieren.

1.2 Kerndrehimpuls und magnetisches Moment

Die meisten Kerne haben einen Kern- oder Eigendrehimpuls P. In der klassischen Vorstellungsweise rotiert der kugelförmig angenommene Atomkern um eine Kernachse. Quantenmechanische Rechnungen zeigen, dass dieser Drehimpuls wie so viele atomare Größen gequantelt ist:

$$P = \sqrt{I(I+1)} \,\,\hbar \tag{1-1}$$

Hierbei ist *h* das Plancksche Wirkungsquantum (= $6,6256 - 10^{-34}$ Js; $\hbar = h/2\pi$) und I die Drehimpuls- oder Kernspinquantenzahl, vereinfacht als Kernspin bezeichnet. Der Kernspin kann die Werte I = 0, 1/2, 1, 3/2, 2... bis 6 annehmen (siehe auch Tab. 1-1). Weder die Werte von I noch von P lassen sich bis jetzt theoretisch voraussagen.

Mit dem Drehimpuls P ist ein magnetisches Moment μ verknüpft. Beides sind vektorielle Größen, die einander proportional sind:

$$\boldsymbol{\mu} = \gamma \boldsymbol{P} \tag{1-2}$$

Tabelle 1-1. Eigenschaften von Kernen, die für die NMR-Spektroskopie wichtig sind.

Kern- Isotop	Spin I	natürliche Häufigkeit ^{a)} [%]	Magne- tisches Moment ^{b)} μ_z/μ_N	Elektrisches Quadrupol- moment ^{a)} Q [10 ⁻³⁰ m ²]	Magneto- gyrisches Verhältnis γ^{a} [10^7 rad T^{-1} s ⁻¹]	NMR- Frequenz ^{a)} [MHz] ($B_0 = 2,3488 \text{ T}$)	Relative Empfind- lichkeit ^{c)}
¹ H	1/2	99,9885	2,7928	-	26,7522	100,000	1,00
^{2}H	1	0,0115	0,8574	0,2860	4,1066	15,3506	$9,65 \times 10^{-3}$
$^{3}H^{d)}$	1/2	_	2,9790	_	28,5350	106,6640	1,21
⁶ Li	1	7,59	0,8220	-0,0808	3,9372	14,7161	$8,50 \times 10^{-3}$
$^{10}\mathrm{B}$	3	19,9	1,8006	8,459	2,8747	10,7437	$1,99 \times 10^{-2}$
^{11}B	3/2	80,1	2,6887	4,059	8,5847	32,0840	1,65 x 10 ⁻¹
¹² C	0	98,9	_	-	_	_	_
¹³ C	1/2	1,07	0,7024	_	6,7283	25,1450	1,59 x 10 ⁻²
¹⁴ N	1	99,63	0,4038	2,044	1,9338	7,2263	$1,01 \times 10^{-3}$
^{15}N	1/2	0,368	-0,2832	_	-2,7126	10,1368	$1,04 \times 10^{-3}$
¹⁶ O	0	99,96	_	_	_	_	_
¹⁷ O	5/2	0,038	-1,8938	-2,558	-3,6281	13,5565	$2,91 \times 10^{-2}$
¹⁹ F	1/2	100	2,6269	_	25,1815	94,0940	$8,32 \times 10^{-1}$
²³ Na	3/2	100	2,2177	10,4	7,0809	26,4519	$9,27 \times 10^{-2}$
25 Mg	5/2	10,00	-0,8555	19,94	-1,6389	6,1216	$2,68 \times 10^{-3}$
²⁹ Si	1/2	4,68	-0,5553	_	-5,3190	19,8672	$7,86 \times 10^{-3}$
^{31}P	1/2	100	1,1316	_	10,8394	40,4807	$6,65 \times 10^{-2}$
³⁹ K	3/2	93,258	0,3915	5,85	1,2501	4,6664	$5,10 \times 10^{-4}$
⁴³ Ca	7/2	0,135	-1,3176	-4,08	-1,8031	6,7301	$6,43 \times 10^{-3}$
⁵⁷ Fe	1/2	2,119	0,0906	_	0,8681	3,2378	$3,42 \times 10^{-5}$
⁵⁹ Co	7/2	100	4,627	42,0	6,332	23,7271	$2,78 \times 10^{-1}$
¹¹⁹ Sn	1/2	8,59	-1,0473	_	-10,0317	37,2906	$5,27 \times 10^{-2}$
¹³³ Cs	7/2	100	2,5820	-0,343	3,5333	13,1161	$4,84 \times 10^{-2}$
¹⁹⁵ Pt	1/2	33,832	0,6095	_	5,8385	21,4968	1,04 x 10 ⁻²

a) Werte aus [1].

γ, die Proportionalitätskonstante, ist für jedes Isotop der verschiedenen Elemente eine charakteristische Konstante und heißt magnetogyrisches oder gyromagnetisches Verhältnis. Von γ hängt die Nachweisempfindlichkeit eines Kernes im NMR-Experiment ab: Kerne mit großem γ werden als empfindlich, solche mit kleinem γ als unempfindlich bezeichnet.

b) z-Komponente des magnetischen Kernmomentes in Einheiten des Kernmagnetons $\mu_{\rm N}$. Werte aus dem Bruker Almanac 2012. $\mu_{\rm N}=eh/4\pi m_{\rm p},~m_{\rm p}$: Masse des Protons = 5,05095 x 10⁻²⁷ JT⁻¹.

c) Die Empfindlichkeit ist bezogen auf ¹H (= 1) bei konstantem Feld und gleicher Kernzahl. Werte aus dem Bruker Almanac 2012.

d) ³H ist radioaktiv.

Mit den Gleichungen (1-1) und (1-2) erhält man für das magnetische Moment μ :

$$\mu = \gamma \sqrt{I(I+1)} \, \hbar \tag{1-3}$$

Kerne mit dem Kernspin I=0 haben folglich kein magnetisches Kernmoment. Für unsere Betrachtungen ist besonders wichtig, dass das Kohlenstoff-Isotop 12 C und das Sauerstoff-Isotop 16 O zu diesen Kernen gehören – das heißt, die Hauptbausteine organischer Verbindungen sind NMR-spektroskopisch nicht nachweisbar.

Für die meisten Kerne zeigen Kerndrehimpulsvektor P und magnetisches Moment μ in die gleiche Richtung, sie sind parallel. In einigen Fällen, beispielsweise bei ¹⁵N und ²⁹Si (und auch beim Elektron!), stehen sie jedoch antiparallel. Auf die Folgen dieser Tatsache werden wir in Kapitel 10 eingehen.

1.3 Kerne im statischen Magnetfeld

1.3.1 Richtungsquantelung

Wird ein Kern mit dem Drehimpuls P und dem magnetischen Moment μ in ein statisches Magnetfeld B_0 gebracht, orientiert sich der Drehimpuls im Raum so, dass seine Komponente in Feldrichtung, P_z , ein ganz- oder halbzahliges Vielfaches von \hbar ist:

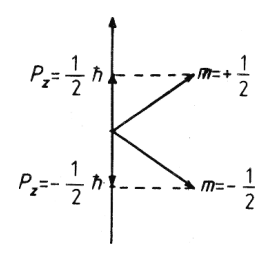
$$P_{\tau} = m\hbar \tag{1-4}$$

m ist die magnetische Quantenzahl oder Orientierungsquantenzahl und kann folgende Werte annehmen: $m = I, I-1, \ldots -I$.

Wie sich leicht abzählen lässt, gibt es (2I + 1) verschiedene m-Werte und somit entsprechend viele Einstellmöglichkeiten von Drehimpuls und magnetischem Moment im Magnetfeld. Man bezeichnet dieses Verhalten der Kerne im Magnetfeld als *Richtungsquantelung*. Für Protonen und 13 C-Kerne mit I = 1/2 ergeben sich zwei m-Werte (+1/2 und -1/2); für Kerne mit I = 1, wie bei 2 H und 14 N, dagegen drei (m = +1, 0 und -1 (Abb. 1-1)).

Mit den Gleichungen (1-2) und (1-4) erhält man die Komponenten des magnetischen Momentes in Feldrichtung z:

$$\mu_z = m\gamma\hbar \tag{1-5}$$



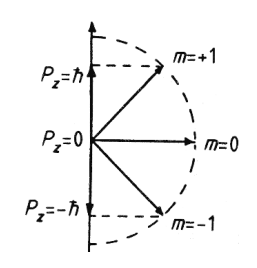


Abbildung 1-1. Richtungsquantelung des Drehimpulses P im Magnetfeld für Kerne mit I = 1/2 und 1.

In der klassischen Betrachtungsweise präzedieren die Kerndipole um die z-Achse, die der Richtung des Magnetfeldes entspricht - sie benehmen sich wie Kreisel (Abb. 1-2). Die Präzessions- oder Larmor-Frequenz $\nu_{\rm L}$ ist hierbei der magnetischen Flussdichte B_0 proportional:

$$\nu_{\rm L} = \left| \frac{\gamma}{2\pi} \right| B_0 \tag{1-6}$$

Im Unterschied zum klassischen Kreisel sind aber für einen präzedierenden Kerndipol wegen der Richtungsquantelung nur bestimmte Winkel erlaubt. Für das Proton mit I = 1/2 beträgt dieser Winkel beispielsweise 54° 44′.

1.3.2

Energie der Kerne im Magnetfeld

Die Energie eines magnetischen Dipols in einem Magnetfeld der magnetischen Flussdichte Bo beträgt

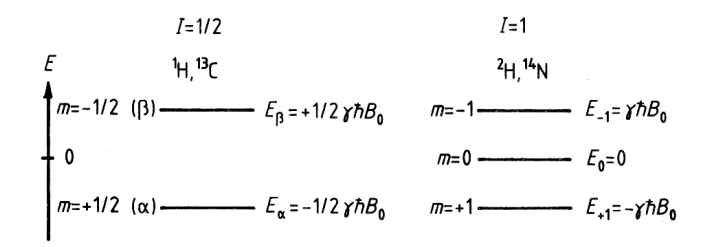
$$E = -\mu_z B_0 \tag{1-7}$$

Damit ergeben sich für einen Kern mit (2 I + 1) Orientierungsmöglichkeiten auch (2 I + 1) Energiezustände, die sogenannten Kern-Zeeman-Niveaus. Aus Gleichung (1-5) folgt:

$$E = -m\gamma\hbar B_0 \tag{1-8}$$

Für das Proton und den 13 C-Kern – für beide ist I = 1/2 – erhält man im Magnetfeld entsprechend der beiden m-Werte + 1/2 und -1/2 zwei Energiewerte. Ist m = + 1/2, steht μ_z parallel zur Feldrichtung, wobei dies der energetisch günstigsten Anordnung entspricht; bei m = -1/2 steht μ_z dagegen antiparallel. In der Quantenmechanik wird der Zustand m = + 1/2 durch die hier nicht näher spezifizierte Spinfunktion α beschrieben, der Zustand m = -1/2 durch die Spinfunktion β .

Für Kerne mit I = 1 wie ²H und ¹⁴N gibt es drei m-Werte (+ 1, 0 und -1) und folglich drei Energieniveaus (Abb. 1-3).



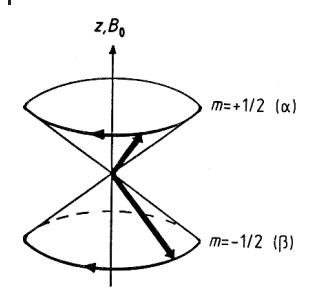


Abbildung 1-2. Doppelpräzessionskegel für Kerne mit dem Kernspin I = 1/2; der halbe Öffnungswinkel des Kegels beträgt 54° 44'.

Abbildung 1-3. Energieniveauschemata für Kerne mit I = 1/2 (links) und mit I = 1 (rechts).

Der Energieunterschied zweier benachbarter Energieniveaus beträgt:

$$\Delta E = \gamma \ \hbar \ B_0 \tag{1-9}$$

Abbildung 1-4 veranschaulicht am Beispiel von Kernen mit I=1/2, dass ΔE und B_0 einander proportional sind.

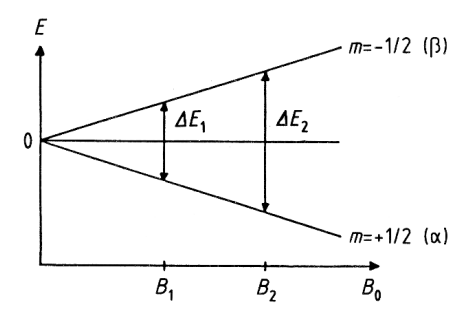


Abbildung 1-4. Energieunterschiede (ΔE) zweier benachbarter Energieniveaus in Abhängigkeit von der magnetischen Flussdichte B_0 .

1.3.3 Besetzung der Energieniveaus

Wie verteilen sich die Kerne in einer makroskopischen Probe (dem NMR-Probenröhrchen) im thermischen Gleichgewicht auf die verschiedenen Energiezustände? Hierüber gibt die Boltzmann-Statistik Auskunft. Für Kerne mit I=1/2 sei N_{β} die Zahl der Kerne im energiereicheren Niveau, N_{α} die der Kerne im energieärmeren Niveau, dann ist:

$$\frac{N_{\rm B}}{N_{\rm cr}} = e^{-\Delta E/k_{\rm B}T} \approx 1 - \frac{\Delta E}{k_{\rm B}T} = 1 - \frac{\gamma \hbar B_0}{k_{\rm B}T} \tag{1-10}$$

 $k_{\rm B} = {\rm Boltzmann\text{-}Konstante} = 1{,}3805 \cdot 10^{-23} \ {\rm J \ K^{-1}}$

T = absolute Temperatur in K

Da für Protonen – und auch für alle anderen Kerne – der Energieunterschied ΔE sehr klein ist im Vergleich zur mittleren Energie der Wärmebewegung ($k_{\rm B}T$), sind die meisten Niveaus nahezu gleichbesetzt. Der Überschuss im energieärmeren Niveau liegt nur im Bereich von tausendstel Promille (ppm).

Zahlenbeispiel für Protonen:

Bei einer magnetischen Flussdichte von B₀ = 1,41 T (Messfrequenz 60 MHz) beträgt der Energieunterschied ΔE nach Gleichung (1-9): ΔE ≈ 2,4·10⁻² J mol⁻¹ (oder ≈ 0,6·10⁻² cal mol⁻¹).
 Den für die Berechnung erforderlichen γ-Wert entnehmen wir Tabelle 1-1, oder wir berechnen ihn im Vorgriff auf Abschnitt 1.4.1 nach Gleichung (1-12).